

CORRIGÉ DU DEVOIR SURVEILLÉ 5

Problème 1 – Proton accéléré par le complexe d'accélérateurs du LHC au CERN (ATS 2015)

1. Système : proton de masse m_P , de charge $q = e$

Référentiel terrestre supposé galiléen

Force électrique : $\vec{F}_{elec} = q\vec{E} = e\vec{E}$

2. Poids : $\vec{P} = m_P \vec{g}$

$$\frac{\text{poids}}{\text{force électrique}} = \frac{\|\vec{P}\|}{\|\vec{F}_{elec}\|} = \frac{m_P g}{eE} \approx 1,02 \cdot 10^{-12} \ll 1$$

Poids du proton négligeable devant la force électrique.

3. Bilan des forces : force électrique, poids négligé

PFD : $m_P \vec{a} = \vec{F}_{elec} = e\vec{E} \Leftrightarrow \vec{a} = \frac{e}{m_P} \vec{E} = \overrightarrow{cste}$: mouvement uniformément accéléré

4. Champ électrique : $\vec{E} = E\vec{e}_x$

Potentiel électrique tel que : $dV = -\vec{E} \cdot d\vec{OM} = -E\vec{e}_x \cdot d\vec{OM} \Leftrightarrow dV = -Edx$

Intégration : $\int_{V_0}^{V_L} dV = -E \int_0^L dx \Leftrightarrow V_L - V_0 = -EL$ soit $V_L = -EL < 0$

Remarque : Tension $U = V_L - V_0 < 0$ et champ électrique orienté dans le sens des potentiels décroissants.

5. Force électrique conservative dérivant de l'énergie potentielle $E_{P,elec} = qV = eV$

Système conservatif.

Théorème de l'énergie cinétique : $\Delta E_C = W(\vec{F}_{elec}) = -\Delta E_{P,elec}$

$$E_{CL} - E_{C0} = -(E_{P,elec}(x=L) - E_{P,elec}(x=0)) \text{ avec } E_{C0} = 0$$

$$E_{CL} = -e(V_L - V_0) \Leftrightarrow E_{CL} = -eV_L = eEL > 0$$

6. D'après la question précédente : $\Delta E_C = -\Delta E_{P,elec} = |-eU_C| = eU_C > 0$

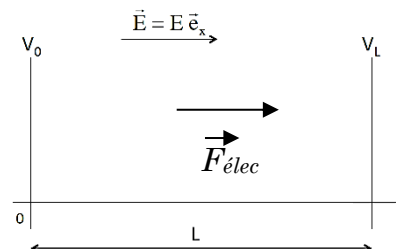
7. Dans chaque tube, en l'absence de champ électrique, le mouvement est uniforme : à la sortie du 1^{er} tube : $E_{C1} = E_{C0} = e|U_0| = eU_0$

À la sortie du 2^{ème} tube : $E_{C2} - E_{C1} = eU_C \Leftrightarrow E_{C2} = E_{C1} + eU_C$

À la sortie du $n^{\text{ème}}$ tube : $E_{Cn} = E_{C1} + (n-1)eU_C$ soit $E_{Cn} = e(U_0 + (n-1)U_C)$

8. $E_{C10} = e(U_0 + 9U_C) = \frac{1}{2} m_P v_{10}^2 \Leftrightarrow v_{10} = \sqrt{\frac{2e}{m_P} (U_0 + 9U_C)} = 5,91 \cdot 10^7 \text{ m.s}^{-1}$

9. $v_{10} \approx \frac{c}{5} < \frac{c}{3}$: les protons ne sont pas relativistes.



10. Système : proton de masse m_P , de charge $q = e$,
de vitesse \vec{v}

Référentiel terrestre supposé galiléen

Composante magnétique de la force de Lorentz :

$$\vec{F}_{\text{magn}} = q\vec{v} \wedge \vec{B}_0 = e\vec{v} \wedge \vec{B}_0$$

11. La force magnétique est orthogonale à \vec{v} (donc à \vec{v}_0) et à \vec{B}_0 : elle est donc dans le plan (xOy) et orthogonale à \vec{v}_0 . Son sens est tel que le trièdre $(\vec{v}_0, \vec{B}_0, \vec{F}_{\text{magn}})$ soit direct.

Sa norme est :
$$F_{\text{magn}} = ev_0 B_0 = ev_0 B_0 \sin(\vec{v}_0, \vec{B}_0) = ev_0 B_0$$

12. $\delta W = \vec{F}_{\text{magn}} \cdot d\vec{OM} = (q\vec{v} \wedge \vec{B}_0) \cdot d\vec{OM} = (q\vec{v} \wedge \vec{B}_0) \cdot \vec{v} dt$ et $\delta W = q(\vec{v} \wedge \vec{v}) \cdot \vec{B}_0 dt = 0$

➤ Théorème de l'énergie cinétique : $dE_C = \delta W = 0 \Rightarrow \frac{dE_C}{dt} = 0 \Rightarrow \frac{d\left(\frac{1}{2}mv^2\right)}{dt} = 0$

$$\frac{1}{2}mv^2 = \text{cste} \Rightarrow \boxed{v = \text{cste} = v_0} : \text{le mouvement du proton est } \underline{\text{uniforme}}.$$

13. Base cylindrique $(\vec{u}_r, \vec{u}_\theta, \vec{u}_z)$ avec origine O centre du cercle.

Bilan des forces : force magnétique $\vec{F}_{\text{magn}} = q\vec{v} \wedge \vec{B}_0 = e\vec{v} \wedge \vec{B}_0$ avec $\vec{B}_0 = B_0 \vec{u}_z$ et $B_0 > 0$ soit $\vec{F}_{\text{magn}} = q(-v_0 \vec{u}_\theta) \wedge B_0 \vec{u}_z = -qv_0 B_0 \vec{u}_r$

pooids négligé

PFD : $\vec{F}_{\text{magn}} = q\vec{v}_0 \wedge \vec{B}_0 = m_P \vec{a}$

Cinématique du mouvement circulaire uniforme :

Vecteur position : $\vec{OM} = r\vec{u}_r$, r étant le rayon du cercle

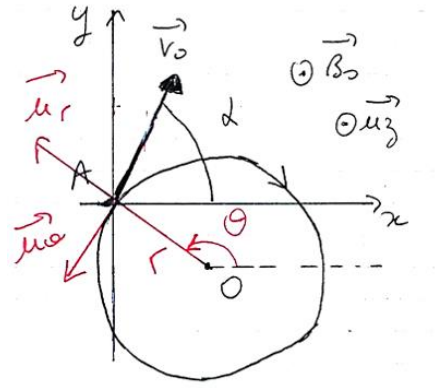
Vecteur vitesse : $\vec{v} = -v_0 \vec{u}_\theta = -r\dot{\theta} \vec{u}_\theta$ de norme $v_0 = \text{cste} > 0$

Vecteur accélération : $\vec{a} = -v_0 \dot{\theta} \vec{u}_r = -\frac{v_0^2}{r} \vec{u}_r$ (accélération centripète)

Projection du PFD sur \vec{u}_r : $-qv_0 B_0 = -m_P \frac{v_0^2}{r}$

Rayon de la trajectoire circulaire :
$$r = \frac{m_P v_0}{q B_0} = \frac{m_P v_0}{e B_0} > 0$$

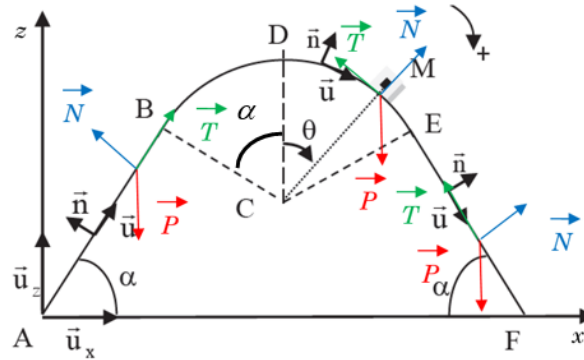
14. Le centre O du cercle est à la distance r de la position initiale de la particule, dans la direction indiquée par $\vec{F}_{\text{magn}} = q\vec{v}_0 \wedge \vec{B}_0$. Le cercle est tangent en A à \vec{v}_0 . Le proton tourne dans le sens indirect (horaire) autour de \vec{B}_0 (cf. schéma).



15. Après sa sortie de la zone de champ magnétique, le proton n'est soumis à aucune force (poids négligé). D'après le principe d'inertie, il est en mouvement rectiligne uniforme.

Problème 2 – Le buggy : trajectoire et sécurité

PARTIE A : MODÉLISATION DU COMPORTEMENT D'UN BUGGY (CNAGEI 2017)



1. $(BC) \perp (AB), (CD) \perp (Ax)$ et $(AB, Ax) = \alpha$ donc $(BCD) = \alpha$

Points	Abscisse x	Cote z
B	$L \cos(\alpha)$	$L \sin(\alpha)$
D	$L \cos(\alpha) + R \sin(\alpha)$	$L \sin(\alpha) + R(1 - \cos(\alpha))$
E	$L \cos(\alpha) + 2R \sin(\alpha)$	$L \sin(\alpha)$
F	$2(L \cos(\alpha) + R \sin(\alpha))$	0

2. Système : buggy assimilé à un objet ponctuel M , de masse m

Référentiel terrestre supposé galiléen

Trajet AB : repère cartésien (A, \vec{u}, \vec{n}) avec \vec{u} colinéaire à la pente

Bilan des forces :

- Poids $\vec{P} = -mg \sin(\alpha) \vec{u} - mg \cos(\alpha) \vec{n}$
- Réaction normale de la piste : $\vec{N} = N \vec{n}$ avec $N > 0$
- Réaction tangentielle de la piste $\vec{T} = T \vec{u}$

PFD : $m\vec{a} = \vec{P} + \vec{N} + \vec{T}$ avec $\vec{a} = \frac{d\vec{v}}{dt} = \vec{0}$ car $\vec{v} = cste$

Projection du PFD sur \vec{u} : $T - mg \sin(\alpha) = 0$ soit $T = mg \sin(\alpha) > 0$ (cf. schéma)

Projection du PFD sur \vec{n} : $N - mg \cos(\alpha) = 0$ soit $N = mg \cos(\alpha) > 0$ (schéma)

3. Trajet EF : repère cartésien (E, \vec{u}, \vec{n}) avec \vec{u} colinéaire à la pente

Bilan des forces :

- Poids $\vec{P} = mg \sin(\alpha) \vec{u} - mg \cos(\alpha) \vec{n}$
- Réaction normale de la piste : $\vec{N} = N \vec{n}$ avec $N > 0$

- Réaction tangentielle de la piste $\vec{T} = T \vec{u}$

PFD : $m\vec{a} = \vec{P} + \vec{N} + \vec{T}$ avec $\vec{a} = \frac{d\vec{v}}{dt} = \vec{0}$ car $\vec{v} = \overrightarrow{cste}$

Projection du PFD sur \vec{u} : $T + mg \sin(\alpha) = 0$ soit $T = -mg \sin(\alpha) < 0$ (schéma)

Projection du PFD sur \vec{n} : $N - mg \cos(\alpha) = 0$ soit $N = mg \cos(\alpha) > 0$ (schéma)

4. Vecteur position : $\vec{CM} = R\vec{n}$

Vecteur vitesse : $\vec{v} = \frac{d\vec{CM}}{dt} = R\dot{\theta}\vec{u} = v\vec{u}$

Vecteur accélération : $\vec{a} = \frac{d\vec{v}}{dt} = R\ddot{\theta}\vec{u} - R\dot{\theta}^2\vec{n}$

5. Norme de la vitesse : $v = R\dot{\theta} = cste$

Vecteur accélération : $\vec{a} = \frac{dv}{dt}\vec{u} - \frac{v^2}{R}\vec{n} = -\frac{v^2}{R}\vec{n}$: mouvement circulaire uniforme

6. Portion circulaire BDE : Repère polaire (C, \vec{u}, \vec{n})

Bilan des forces :

- Poids $\vec{P} = mg \sin(\theta)\vec{u} - mg \cos(\theta)\vec{n}$
- Réaction normale de la piste : $\vec{N} = N\vec{n}$ avec $N > 0$
- Réaction tangentielle de la piste $\vec{T} = T \vec{u}$

PFD : $m\vec{a} = \vec{P} + \vec{N} + \vec{T}$

Projection du PFD sur \vec{u} : $T + mg \sin(\theta) = 0$ soit $T = -mg \sin(\theta) < 0$ (schéma)

Projection du PFD sur \vec{n} : $N - mg \cos(\theta) = -m \frac{v^2}{R}$ soit $N = mg \cos(\theta) - m \frac{v^2}{R}$

7. Sur la portion entre B et D, θ diminue en valeur absolue, donc N augmente et le décollage n'est pas possible. S'il y a décollage, il a lieu entre D et E. Dans cette portion, θ augmente donc N diminue. La valeur minimale de N est obtenue en $\theta = \alpha$. Condition de non-décollage en $\theta = \alpha$: $N(\alpha) > 0$

$$mg \cos(\alpha) - m \frac{v^2}{R} > 0 \Leftrightarrow \frac{v^2}{R} < g \cos(\alpha) \text{ soit } v < \sqrt{Rg \cos(\alpha)} = v_{\text{lim}}$$

8. Portion AB : $W_{A \rightarrow B}(\vec{T}) = \int_A^B \vec{T} \cdot d\vec{AM} = \int_A^B mg \sin(\alpha) \vec{u} \cdot d\vec{AM}$

Déplacement élémentaire : $d\vec{AM} = dAM \vec{u}$

$$W_{A \rightarrow B}(\vec{T}) = \int_A^B mg \sin(\alpha) \cdot dAM = mg \sin(\alpha) AB$$

$$W_{A \rightarrow B}(\vec{T}) = mg \sin(\alpha) L > 0 : \text{force motrice}$$

➤ Portion BD : $W_{B \rightarrow D}(\vec{T}) = \int_B^D \vec{T} \cdot d\vec{CM} = \int_B^D -mg \sin(\theta) \vec{u} \cdot d\vec{CM}$

Déplacement élémentaire : $d\vec{CM} = dR\vec{n} + R d\theta \vec{u} = R d\theta \vec{u}$

$$W_{B \rightarrow D}(\vec{T}) = \int_{-\alpha}^0 -mg \sin(\theta) R d\theta = mgR [\cos \theta]_{-\alpha}^0$$

$$\boxed{W_{B \rightarrow D}(\vec{T}) = mgR(1 - \cos(\alpha)) > 0} : \text{force motrice}$$

➤ Portion DE : $W_{D \rightarrow E}(\vec{T}) = \int_D^E \vec{T} \cdot d\vec{CM} = \int_D^E -mg \sin(\theta) \vec{u} \cdot d\vec{CM}$

$$W_{D \rightarrow E}(\vec{T}) = \int_0^\alpha -mg \sin(\theta) R d\theta = mgR [\cos \theta]_0^\alpha$$

$$\boxed{W_{D \rightarrow E}(\vec{T}) = mgR(\cos(\alpha) - 1) < 0} : \text{force résistante}$$

➤ Portion EF : $W_{E \rightarrow F}(\vec{T}) = \int_E^F \vec{T} \cdot d\vec{EM} = \int_E^F -mg \sin(\alpha) \vec{u} \cdot d\vec{EM}$ et $d\vec{EM} = dEM \vec{u}$

$$W_{E \rightarrow F}(\vec{T}) = -\int_E^F mg \sin(\alpha) \cdot dEM = -mg \sin(\alpha) EF$$

$$\boxed{W_{E \rightarrow F}(\vec{T}) = -mg \sin(\alpha) L < 0} : \text{force résistante}$$

➤ Totalité du trajet AF :

$$\boxed{W_{A \rightarrow F}(\vec{T}) = W_{A \rightarrow B}(\vec{T}) + W_{B \rightarrow D}(\vec{T}) + W_{D \rightarrow E}(\vec{T}) + W_{E \rightarrow F}(\vec{T}) = 0}$$

➤ Commentaire : le travail fourni par le moteur compense le travail résistant du poids sur la portion AD ; sur la portion DF, le poids est moteur et compense le travail perdu par frottement solide sur la piste. Ce modèle ne tient pas compte des frottements fluides dans l'air...

9. Bilan des forces précédent : ajout de $\vec{F}_a = -F_a \vec{u}$ et \vec{T} remplacée par $\vec{T}' = T' \vec{u}$

Projection du PFD sur \vec{u} :

Trajet AB : $T' - mg \sin(\alpha) - F_a = 0$ soit $\boxed{T' = F_a + mg \sin(\alpha) = T + F_a}$

Trajet EF : $T' + mg \sin(\alpha) - F_a = 0$ soit $\boxed{T' = F_a - mg \sin(\alpha) = T + F_a}$

Portion circulaire BDE :

$$T' + mg \sin(\theta) - F_a = 0 \text{ soit } \boxed{T' = F_a - mg \sin(\theta) = T + F_a}$$

10. Tronçon AD : $W_{A \rightarrow D}(\vec{F}_a) = \int_A^D \vec{F}_a \cdot d\vec{AM} = -\int_A^B F_a \vec{u} \cdot d\vec{AM} - \int_B^D F_a \vec{u} \cdot d(\vec{AC} + \vec{CM})$

$$W_{A \rightarrow D}(\vec{F}_a) = -F_a AB - F_a \int_B^D \vec{u} \cdot d\vec{CM} = -F_a L - F_a \int_{-\alpha}^0 R d\theta = -F_a L - F_a R \alpha$$

$$\boxed{W_{A \rightarrow D}(\vec{F}_a) = -F_a (L + R \alpha) = -F_a AD < 0}$$

➤ Tronçon DF : $W_{D \rightarrow F}(\vec{F}_a) = \int_D^F \vec{F}_a \cdot d\vec{CM} = -F_a DF$ $\boxed{W_{D \rightarrow F}(\vec{F}_a) = -F_a (L + R \alpha) < 0}$

11. Poids : seule force conservative dérivant de $E_{p,pes}$ telle que :

$$dE_{p,pes} = -\vec{P} \cdot d\vec{AM} = +mg \vec{u}_z \cdot d\vec{AM} = mg dz \text{ soit } \boxed{E_{p,pes} = mgz + cste}$$

➤ Théorème de l'énergie mécanique : $\Delta E_m = W^{NC} = W(\vec{F}_a) + W(\vec{T}')$ avec

$$\Delta E_m = \Delta E_c + \Delta E_{p,pes} = \Delta E_{p,pes} \text{ soit } \boxed{W(\vec{T}') = \Delta E_{p,pes} - W(\vec{F}_a)}$$

➤ Tronçon AD : $W_{A \rightarrow D}(\vec{T}') = E_{p,pes}(D) - E_{p,pes}(A) - W_{A \rightarrow D}(\vec{F}_a)$

$$W_{A \rightarrow D}(\vec{T}') = mg(z_D - z_A) - W_{A \rightarrow D}(\vec{F}_a)$$

$$W_{A \rightarrow D}(\vec{T}') = mg(L \sin(\alpha) + R(1 - \cos(\alpha))) + F_a(L + R\alpha)$$

➤ Tronçon DF : $W_{D \rightarrow F}(\vec{T}') = E_{p,pes}(F) - E_{p,pes}(D) - W_{D \rightarrow F}(\vec{F}_a)$

$$W_{D \rightarrow F}(\vec{T}') = -mg(L \sin(\alpha) + R(1 - \cos(\alpha))) + F_a(L + R\alpha)$$

12. Totalité du trajet AF : $W_{A \rightarrow F}(\vec{T}') = W_{A \rightarrow D}(\vec{T}') + W_{D \rightarrow F}(\vec{T}')$

$$W_{A \rightarrow F}(\vec{T}') = 2F_a(L + R\alpha) > 0$$

- Commentaire : la force \vec{T}' est motrice sur la globalité du trajet afin de compenser l'énergie perdue par les frottements fluides sur tout le trajet.

PARTIE B : DANGER LIÉ À UN PENDULE SUSPENDU DANS UN VÉHICULE (E3A MP 2017)

13. Lors du mouvement du véhicule à vitesse constante, \mathcal{R}' est en translation rectiligne uniforme par rapport à \mathcal{R}_g galiléen : il est galiléen.

- Phase de freinage : mouvement rectiligne uniformément accéléré : \mathcal{R}' n'est pas galiléen.

14. Système : objet assimilé à un point M , de masse m
Référentiel \mathcal{R}' lié à la voiture, non galiléen, base polaire $(\vec{u}_r, \vec{u}_\beta)$

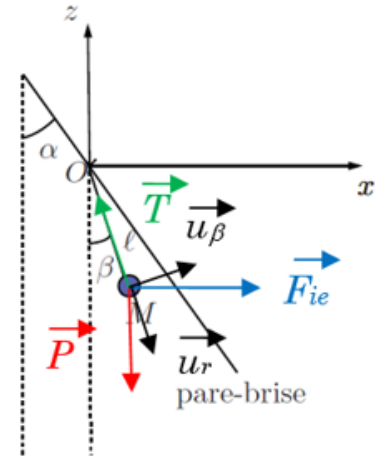
Bilan des forces :

- Poids $\vec{P} = mg \cos(\beta) \vec{u}_r - mg \sin(\beta) \vec{u}_\beta$
- Tension du fil : $\vec{T} = -T \vec{u}_r$ avec $T > 0$
- Force d'inertie d'entraînement :
 $\vec{F}_{ie} = -m \vec{a}_0 = m a_0 \vec{e}_x = m a_0 (\sin(\beta) \vec{u}_r + \cos(\beta) \vec{u}_\beta)$

Principe fondamental de la statique à l'équilibre :

$$m \vec{a} = \vec{P} + \vec{T} + \vec{F}_{ie} = \vec{0}$$

Projection du PFS sur \vec{u}_β : $-mg \sin(\beta_{eq}) + m a_0 \cos(\beta_{eq}) = 0 \Leftrightarrow \tan(\beta_{eq}) = \frac{a_0}{g}$



15. Cinématique du mouvement circulaire :

$$\vec{OM} = \ell \vec{u}_r, \vec{v} = \frac{d\vec{OM}}{dt} = \ell \dot{\beta} \vec{u}_\beta, \vec{a} = \frac{d\vec{v}}{dt} = \ell \ddot{\beta} \vec{u}_\beta - \ell \dot{\beta}^2 \vec{u}_r$$

PFD : $m \vec{a} = \vec{P} + \vec{T} + \vec{F}_{ie}$

Projection du PFD sur \vec{u}_β : $-mg \sin(\beta) + m a_0 \cos(\beta) = m \ell \ddot{\beta}$

$$\ddot{\beta} + \frac{g}{\ell} \sin(\beta) = \frac{a_0}{\ell} \cos(\beta)$$

16. Énergie potentielle d'entraînement $E_{P,ie}$ telle que :

$$dE_{P,ie} = -\vec{F}_{ie} \cdot d\vec{OM} = -m a_0 \vec{u}_x \cdot d\vec{OM} = -m a_0 dx$$

$$E_{p,ie} = -ma_0x + cste1 = -ma_0\ell \sin(\beta) + cste1$$

17. Énergie potentielle de pesanteur $E_{P,pes}$ telle que :

$$dE_{p,pes} = -\vec{P} \cdot d\vec{OM} = +mg\vec{u}_z \cdot d\vec{OM} = mgdz$$

$$E_{p,pes} = mgz + cste2 = -mg\ell \cos(\beta) + cste2$$

18. Deux forces conservatives : \vec{P} et \vec{F}_{ie} ; une force non conservative \vec{T} telle que $W(\vec{T}) = 0$: système conservatif.

Théorème de la puissance mécanique :

$$\frac{dE_m}{dt} = \mathcal{P}^{NC} = 0 \Leftrightarrow \frac{d(E_C + E_{P,pes} + E_{P,ie})}{dt} = 0$$

Énergie cinétique : $E_C = \frac{1}{2}mv^2 = \frac{1}{2}m\ell^2\dot{\beta}^2$

$$\frac{dE_m}{dt} = 0 \Leftrightarrow \frac{dE_C}{d\dot{\beta}} \frac{d\dot{\beta}}{dt} + \frac{dE_{P,pes}}{d\beta} \frac{d\beta}{dt} + \frac{dE_{P,ie}}{d\beta} \frac{d\beta}{dt} = 0$$

$$m\ell^2\ddot{\beta}\dot{\beta} - ma_0\ell \cos(\beta)\dot{\beta} + mg\ell \sin(\beta)\dot{\beta} = 0 \text{ soit } \ddot{\beta} + \frac{g}{\ell} \sin(\beta) = \frac{a_0}{\ell} \cos(\beta)$$

19. Approximation des petits angles : $\cos(\beta) \simeq 1$ et $\sin(\beta) \simeq \beta$

$$\text{Équation différentielle : } \ddot{\beta} + \frac{g}{\ell} \beta = \frac{a_0}{\ell} \Leftrightarrow \ddot{\beta} + \frac{g}{\ell} \beta = \frac{g}{\ell} \frac{a_0}{g}$$

$$\text{Or } \frac{a_0}{g} = \tan(\beta_{eq}) \simeq \beta_{eq} \text{ d'où } \ddot{\beta} + \frac{g}{\ell} \beta = \frac{g}{\ell} \beta_{eq} \text{ et } \ddot{\beta} + \omega_0^2 \beta = \omega_0^2 \beta_{eq} \text{ avec } \omega_0 = \sqrt{\frac{g}{\ell}}.$$

20. Solution de l'essai : $\beta(t) = A \cos(\omega_0 t) + B \sin(\omega_0 t)$

Solution particulière : $\beta(t) = \beta_{eq}$

Solution complète : $\beta(t) = A \cos(\omega_0 t) + B \sin(\omega_0 t) + \beta_{eq}$

Conditions initiales : $\beta(0) = A + \beta_{eq} = 0 \Leftrightarrow A = -\beta_{eq}$ et $\dot{\beta}(0) = B\omega_0 = 0 \Leftrightarrow B = 0$

Solution finale : $\beta(t) = \beta_{eq} (1 - \cos(\omega_0 t))$

21. Angle maximal atteint pour $\cos(\omega_0 t) = -1$ soit $\beta_{max} = 2\beta_{eq}$

Pour les petits angles : $\beta_{max} = 2\beta_{eq} \simeq \tan(\beta_{eq}) = 2 \frac{a_0}{g}$

La masse ne heurte pas le pare-brise si $\beta_{max} < \alpha \Leftrightarrow 2 \frac{a_0}{g} < \alpha \Leftrightarrow a_0 < a_1 = \frac{\alpha g}{2}$

A.N. : $a_1 = 1,3 \text{ m.s}^{-2}$ (**Attention** : convertir l'angle α en radian !)

Exercice 3 – Bille sur un cerceau

$$1. \quad BM^2 = (\overrightarrow{BO} + \overrightarrow{OM})^2 = BO^2 + OM^2 + 2BO \cdot OM \cos(\pi - \theta)$$

$$BM^2 = 2R^2 - 2R^2 \cos(\theta) = 2R^2(1 - \cos \theta) \text{ et } 1 - \cos(\theta) = 2 \sin^2\left(\frac{\theta}{2}\right)$$

$$BM^2 = 4R^2 \sin^2\left(\frac{\theta}{2}\right) \text{ donc } \boxed{BM = 2R \left| \sin\left(\frac{\theta}{2}\right) \right|}$$

2. Système : bille assimilée à un point M , masse m

➤ Référentiel terrestre supposé galiléen, base cartésienne $(\vec{u}_x, \vec{u}_y, \vec{u}_z)$ ou cylindrique $(\vec{u}_r, \vec{u}_\theta, \vec{u}_z)$

➤ Bilan des forces :

• Poids $\vec{P} = m\vec{g} = mg\vec{u}_y$: force

conservative dérivant d'une énergie potentielle :

$$dE_{P,pes} = -\vec{P} \cdot d\overrightarrow{OM} = -mg\vec{e}_y \cdot d\overrightarrow{OM} = -mgdy$$

$$E_{P,pes}(y) = -mgy + cste \text{ et } y = R \sin \theta \text{ d'où } \boxed{E_{P,pes}(\theta) = -mgR \sin(\theta) + cste1}$$

• Force de rappel élastique du ressort $\vec{F}_{elas} = -k(l - l_0)\vec{u}_{sortant} = -kBM\vec{u}_{BM}$ avec

$\vec{u}_{BM} = \frac{\overrightarrow{BM}}{BM}$: force conservative dérivant d'une énergie potentielle

(expression à connaître) :

$$\boxed{E_{P,elas} = \frac{1}{2} kBM^2 + cste2 = 2kR^2 \sin^2\left(\frac{\theta}{2}\right) + cste2}$$

Démonstration :

$$dE_{P,elas} = -\vec{F}_{elas} \cdot d\overrightarrow{BM} = k \cdot BM \cdot \vec{u}_{BM} \cdot d\overrightarrow{BM} = k \cdot BM \cdot d(BM) = d\left(\frac{1}{2} kBM^2\right)$$

• Réaction normale du support : \vec{R}_N : force non conservative telle que

$$W(\vec{R}_N) = 0$$

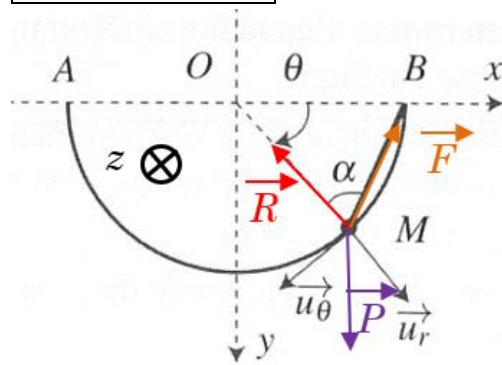
➤ Système conservatif à un degré de liberté θ

➤ Énergie potentielle totale :

$$E_P(\theta) = E_{P,pes}(\theta) + E_{P,elas} = -mgR \sin(\theta) + 2kR^2 \sin^2\left(\frac{\theta}{2}\right) + cste3$$

Détermination de la constante telle que $E_P(\theta = 0) = 0$ soit $cste3 = 0$

$$\boxed{E_P(\theta) = -mgR \sin(\theta) + 2kR^2 \sin^2\left(\frac{\theta}{2}\right) = -mgR \sin(\theta) + kR^2(1 - \cos(\theta))}$$



3. Position d'équilibre telle que $\left(\frac{dE_P(\theta)}{d\theta}\right)_{\theta_{eq}} = 0$

$$\left(\frac{dE_P(\theta)}{d\theta}\right)_{\theta_{eq}} = 0 \Leftrightarrow -mgR \cos(\theta_{eq}) + 2kR^2 \cos\left(\frac{\theta_{eq}}{2}\right) \sin\left(\frac{\theta_{eq}}{2}\right) = 0$$

$$kR^2 \sin(\theta_{eq}) = mgR \cos(\theta_{eq}) \Leftrightarrow \boxed{\tan(\theta_{eq}) = \frac{mg}{kR} > 0} \text{ On constate que } 0 \leq \theta_{eq} \leq \frac{\pi}{2}.$$

➤ Stabilité :

$$\left(\frac{d^2E_P(\theta)}{d\theta^2}\right)_{\theta_{eq}} = mgR \sin(\theta_{eq}) + kR^2 \cos(\theta_{eq}) = kR^2 \cos(\theta_{eq}) \left[1 + \frac{mg}{kR} \tan(\theta_{eq})\right]$$

$$\boxed{\left(\frac{d^2E_P(\theta)}{d\theta^2}\right)_{\theta_{eq}} = kR^2 \cos(\theta_{eq}) \left[1 + \left(\frac{mg}{kR}\right)^2\right] > 0} \text{ La position d'équilibre est } \underline{\text{stable}}.$$

4. Si l'on écarte faiblement la bille de sa position d'équilibre stable θ_{eq} et qu'on la lâche sans vitesse initiale, la bille est dans un puits de potentiel : elle est dans un état lié et elle oscille autour de θ_{eq} . Les oscillations sont sinusoïdales (harmoniques) si l'amplitude du mouvement est faible, non harmoniques si l'amplitude du mouvement est importante.

5. Système conservatif à un degré de liberté θ

➤ Mouvement circulaire : $v = R\dot{\theta}$

➤ Énergie cinétique : $E_C = \frac{1}{2}mv^2 = \frac{1}{2}mR^2\dot{\theta}^2$

➤ Théorème de la puissance mécanique :

$$\frac{dE_m}{dt} = \mathcal{P}^{NC} = 0 \Leftrightarrow \frac{dE_C}{d\theta} \frac{d\theta}{dt} + \frac{dE_P}{d\theta} \frac{d\theta}{dt} = 0 \Rightarrow mR^2\ddot{\theta} - mgR \cos(\theta)\dot{\theta} + kR^2 \sin(\theta)\dot{\theta} = 0$$

$$\boxed{\ddot{\theta} - \frac{g}{R} \cos(\theta) + \frac{k}{m} \sin(\theta) = 0}$$

6. Soit $\varepsilon = \theta - \theta_{eq} \Leftrightarrow \theta = \theta_{eq} + \varepsilon$ et $\varepsilon \ll \frac{\pi}{2} \Leftrightarrow \varepsilon \ll 1$ donc $\cos \varepsilon \simeq 1$ et $\sin \varepsilon \simeq \varepsilon$

➤ Dérivées : $\theta = \theta_{eq} + \varepsilon \Rightarrow \dot{\theta} = \dot{\varepsilon}$ et $\ddot{\theta} = \ddot{\varepsilon}$

➤ Fonctions trigonométriques :

$$\cos \theta = \cos(\theta_{eq} + \varepsilon) = \cos \theta_{eq} \cos \varepsilon - \sin \theta_{eq} \sin \varepsilon \simeq \cos \theta_{eq} - \varepsilon \sin \theta_{eq}$$

$$\sin \theta = \sin(\theta_{eq} + \varepsilon) = \sin \theta_{eq} \cos \varepsilon + \cos \theta_{eq} \sin \varepsilon \simeq \sin \theta_{eq} + \varepsilon \cos \theta_{eq}$$

➤ Équation différentielle vérifiée par ε :

$$\ddot{\varepsilon} - \frac{g}{R}(\cos \theta_{eq} - \varepsilon \sin \theta_{eq}) + \frac{k}{m}(\sin \theta_{eq} + \varepsilon \cos \theta_{eq}) = 0$$

$$\ddot{\varepsilon} + \left(\frac{g}{R} \sin \theta_{eq} + \frac{k}{m} \cos \theta_{eq}\right) \varepsilon = \frac{g}{R} \cos \theta_{eq} - \frac{k}{m} \sin \theta_{eq} = 0$$

car, d'après la question 2, $kR^2 \sin(\theta_{eq}) = mgR \cos(\theta_{eq}) \Leftrightarrow \frac{g}{R} \cos \theta_{eq} - \frac{k}{m} \sin \theta_{eq} = 0$

➤ Équation différentielle du second ordre d'un oscillateur harmonique non

amorti : $\ddot{\varepsilon} + \omega_0^2 \varepsilon = 0$ avec $\omega_0 = \sqrt{\frac{g}{R} \sin \theta_{eq} + \frac{k}{m} \cos \theta_{eq}}$

7. Solution de l'équation sans second membre et de l'équation complète :

$$\varepsilon(t) = A \cos(\omega_0 t) + B \sin(\omega_0 t)$$

Conditions initiales : $\varepsilon(0) = \varepsilon_0 = A$ et $\dot{\varepsilon}(t) = 0 = B\omega_0 \cos(\omega_0 t) \Leftrightarrow B = 0$

Solution finale : $\varepsilon(t) = \varepsilon_0 \cos(\omega_0 t)$

Angle : $\theta(t) = \theta_{eq} + \varepsilon(t) = \theta_{eq} + \varepsilon_0 \cos(\omega_0 t)$

La bille effectue des oscillations sinusoïdales autour de la position d'équilibre stable θ_{eq} , à la pulsation propre ω_0 .